

- [2] Schneider R.T., Holt F. // in Nucl. Sci. and Technol. New York: Plenum Press. 1984. V. 16. P. 123-287.
- [3] Воинов А.М., Довбыш Л.Е., Кривоносов В.Н., Мельников С.П., Подмошенский И.В., Синяинский А.А. // Доклады АН СССР. 1979. Т. 245. № 1. С. 80-83.
- [4] Пупко В.Я. Препринт ФЭИ, № 1245. Обнинск, 1981.
- [5] Воинов А.М., Довбыш Л.Е., Казакевич А.Т., Кривоносов В.Н., Мельников С.П., Подмошенский И.В., Синяинский А.А. // Письма в ЖТФ. 1979. Т. 5. В. 7. С. 422-424.
- [6] Bashkin S., Mooring F.P., Petree B. // Phys. Rev. 1951. V. 82. N 3. P. 378-380.
- [7] Воинов А.М., Мельников С.П., Синяинский А.А. // Письма в ЖТФ. 1989. Т. 15. В. 19. С. 56-59.
- [8] Гудзенко Л.И., Яковленко С.И. Плазменные лазеры. М.: Атомиздат, 1978.

Поступило в Редакцию
6 апреля 1990 г.

Письма в ЖТФ, том 16, вып. 13

12 июля 1990 г.

06.2

© 1990

МЕХАНИЗМ ПРОСТРАНСТВЕННО-ПЕРИОДИЧЕСКОГО РАССЛОЕНИЯ ТОКА В ТИРИСТОРЕ

А.В. Горбатюк, П.Б. Родин

В недавнем эксперименте по перегрузке тиристоров импульсом тока впервые были обнаружены необычного вида разрушения полупроводниковой структуры, характеризующиеся правильным периодическим размещением отдельных очагов [1]. Очевидно, образованию критического термомеханического поля предшествует периодическое расслоение греющего тока, однако такое утверждение нельзя обосновать с позиции установленных представлений о поперечной неустойчивости тока в тиристоре как в устройстве с 5-образной ВАХ [2, 3]. Более того, оно находится в противоречии с теорией [2, 3], доказывающей нестабильность любого многошнурового состояния.

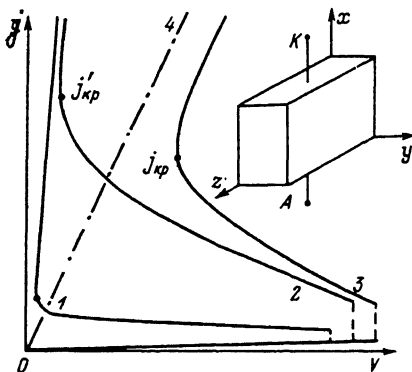


Рис. 1. Кривая 1 – ВАХ тиристора при $\varphi_g = 0$, кривые 2 и 3 – идеализированная (без учета падения напряжения на толще п-базы) и реальная ВАХ тиристора в условиях выключения $\varphi_g < 0$, кривая 4 – омическое падение напряжения на п-базе.

В настоящем сообщении предложена феноменологическая модель, которая непротиворечиво объясняет возможность пространственно-периодического расслоения тока в специфических условиях эксперимента [1].

Согласно представлениям [2, 3], закон распределения тока инъекции катода $j(z, y, t)$ площасти тиристорной структуры S следует из баланса регенерации избыточного заряда в ее дифференциальных сечениях. Этот закон, по крайней мере при малых j , можно строго свести к одному феноменологическому уравнению вида

$$\tau \frac{\partial j}{\partial t} = \ell^2 \Delta j + f(j, V, \varphi_g), \quad \Delta \equiv \frac{\partial^2}{\partial z^2} + \frac{\partial^2}{\partial y^2}. \quad (1)$$

Здесь ℓ – эффективная длина „диффузии“ параметра j в плоскости S . Значение ℓ совпадает с длиной волны поперечной критической флуктуации δj и по оценке в [4] составляет для обычных тиристоров 1–2 мм. Время регенерации тока τ равно единицам микросекунд. Функция $f(j, V, \varphi_g)$ определяет локальную скорость регенерации при конкретном механизме двойной инъекции. Она зависит от анодного смещения V , равного в модели [2, 3] суммарному напряжению на р-п-переходах, а также, в общем случае, и от параметра управления φ_g – смещения потенциала распределенного базового электрода относительно катода. Изоклина $f(j, V, \varphi_g) = 0$ в координатах $j-V$ представляет ВАХ однородного состояния, которая при $\varphi_g < \varphi_{ах}$ по определению S -образна (рис. 1, кривая 1). Для мощного прибора при $\varphi_g = 0$ плотности

тока в интервале отрицательного дифференциального сопротивления (ОДС) составляют примерно 10^{-2} - 10^0 А/см 2 .

Анализ показывает, что единственному устойчивому неоднородному решению уравнения (1) отвечает уединенный токовый шнур [2, 3].

Общеизвестно, что при выключении тиристора под действием распределенного управления $\varphi_g < 0$ ВАХ перестраивается так, что участок ОДС сдвигается в область больших токов и напряжений (рис. 1, кривые 2, 3). В эксперименте [1] предполагаемое расслоение тока зарождалось при нахождении рабочей точки (j_0, V_0) в непосредственной близости от нового положения участка ОДС, но еще на ветви с положительным дифференциальным сопротивлением (ПДС). После сжатия включенной области (см. [1]) плотность тока составляла $\sim 10^4$ А/см 2 , что на 4 порядка превышает верхний предел токов ОДС для $\varphi_g = 0$. При двойной инжекции в кремни для токов 100-200 А/см 2 и выше концентрации плазмы практически насыщается при значениях $\sim 10^{18}$ см $^{-3}$ [5] (в основном из-за нелинейных утечек и Оже-рекомбинации), и возникает стабилизация локального сопротивления $R \rightarrow R_s$. В случае тиристора это приведет к смещению всех точек ВАХ, включая ветвь ОДС, по оси V на величину $\sigma_0 = j \cdot R_s$. Для токов режима [1] поправка σ_0 достигает 10-20 В, что во много раз превышает суммарное смещение р-п-переходов включенной структуры σ_{Rn} . Поэтому применять к ситуации [1] аппарат теории [2, 3] в его исходном виде нельзя.

С целью корректного объяснения результатов эксперимента [1] учтем дополнительно падение напряжения σ_0 на толще п-базы структуры ($V = \sigma_{Rn} + \sigma_0$, далее $\sigma_{Rn} \equiv \sigma$). Полагая, что насыщение сопротивления п-базы не меняет механизм регенерации тока, а также что перераспределение тока происходит только вдоль полоски катода (см. [1], рис. 1), перепишем уравнение (1) в виде:

$$\tilde{\epsilon}_j \frac{dj}{dt} = l_j^2 \frac{\partial^2 j}{\partial z^2} + f(j, \sigma, \varphi_g = const), \quad \varphi_g < 0, \quad (2)$$

где $\tilde{\epsilon}_j \approx 1$ мкс связано только с инерционностью плазмы в р-базе.

Как следует из аналогии с распределенной системой „тригерный слой – резистивная нагрузка“ [6], для неоднородного случая правильную зависимость для переменной $\sigma \equiv \sigma_{Rn}$ можно определить, учитывая, что при неоднородном распределении электрического поля в толще резистивного слоя имеет место „диффузионное“ выравнивание напряжения σ_0 по z :

$$\tilde{\epsilon}_\sigma \frac{d\sigma}{dt} = l_\sigma^2 \frac{\partial^2 \sigma}{\partial z^2} + F(j, \sigma, V), \quad F = V - j \cdot R_s - \sigma. \quad (3)$$

Из масштабных соображений ясно, что длина „диффузии“ l_σ в геометрии эксперимента [1] близка к толщине п-базы $W \approx 200$ мкм.

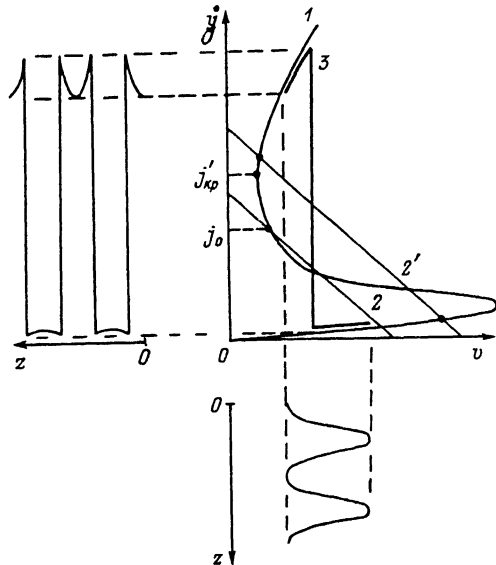


Рис. 2. Нуль-изоклины уравнения (2) (кривая 1) и уравнения (3) (кривые 2 и 2') соответствуют разным значениям V). Кривая 3 - зависимость $j(v)$ при стратификации тока, на боковых проекциях представлены соответствующие распределения $j(z)$, $v(z)$.

Параметр V в (2-3) характеризует уровень возбуждения системы в целом.

Важно отметить, что длина ℓ_j оказывается много меньшей, чем по оценке [4], а также меньшей, чем значение ℓ_v . Это связано с тем, что поперечное электрическое поле в р-базе, ответственное за „диффузию“ тока, сильно экранируется эквипотенциальными полосами электрода управления, расположенным на расстоянии 70–80 мкм от сжатой включенной области структуры. Время τ_v при „насыщенном“ R_s определяется максвелловской релаксацией поля в п-базе и, очевидно, не превышает значения τ_j .

В координатах $j-v$ нуль-изоклина уравнения (2) теперь является ВАХ идеализированной системы р-п-переходов, а нуль-изоклина уравнения (3) представляет линию „внутренней“ резистивной нагрузки (рис. 2). Согласно общей классификации нелинейных систем типа реакция–диффузия [7], данный случай соответствует *KN*-системе, в которой при $\ell_j < \ell_v$ и $\tau_j > \tau_v$ может иметь место цепь спектр устойчивых пространственно-периодических распределений $j(z)$ и $v(z)$. В условиях эксперимента [1] механизм расслоения срабатывает в результате потери устойчивости к поперечным флуктуациям δj при таком сочетании j_0 и v_0 , когда $j_{kp}(\psi_0) < j_0 < j'_{kp}(\psi_0)$, и завершается образованием после-

довательности „горячих” и „холодных” страт тока. Плотность тока в „горячих” участках при этом возрастает, так что при заданном $I_0/S = \text{const}$ [1] увеличивается также и параметр V . Зависимость $j(v)$, отвечающая реализуемому виду неоднородности, располагается между крайними точками нового пересечения изоклин (1) и (2) [7]. В промежутке между максимальным и минимальным значениями плотность тока j меняется скачкообразно. Соответствующие распределения $j(z)$ и $v(z)$ показаны на рисунке для вырожденной ситуации $\ell_j \ll \ell_v$. Расстояние между стратами по величине близко к ℓ_v .

Деструкция образца происходит в результате опережающей тепловой перегрузки „горячих” участков. Критическую плотность тока в стратах можно оценить по теории [8] (где рассмотрена близкая ситуация импульсного адиабатического перегрева структуры с двойной инжекцией) из условия $j_m t_m^{1/3} = 300 \text{ A} \cdot \text{с}^{1/3}/\text{см}^2$. Для данного масштаба времени $t_m \approx 10 \text{ мкс}$ [1] это дает $j_m = 15 \text{ кА}/\text{см}^2$, что хорошо совпадает с оценкой экспериментального значения j_m .

Таким образом, предлагаемая простая модель непротиворечиво объясняет все основные результаты эксперимента [1].

Авторы благодарят И.В. Грехова за интерес к данной теме, А.В. Свирина за обсуждение деталей и техники эксперимента и Ю.А. Астрова, обратившего их внимание на работу [6].

Список литературы

- [1] Горбатюк А.В., Линийчук И.А., Свирин А.В. // Письма в ЖТФ. 1989. Т. 15. В. 6. С. 42–45.
- [2] Варламов И.В., Осипов В.В. // ФТП. 1969. Т. 3. В. 7. С. 950–958.
- [3] Варламов И.В., Осипов В.В., Полторакий Э.А. // ФТП. 1969. Т. 3. В. 8. С. 1162–1168.
- [4] Горбатюк А.В., Попова М.В. // ФТП. 1984. Т. 18. В. 11. С. 2114.
- [5] M n a t s a k a n o v T.T., R o s t o v t - s e v I.L., P h i l a t o v N.I. // Solid-State Electron. 1987. V. 30. N 6. P. 579–586.
- [6] R a d e h a u s Ch., K a r d e l l K., B a u m a n n H., J a g e r D., P u r w i n s H.-G. // Z. Phys. B-Condensed Matter. 1987. V. 65. P. 515–525.
- [7] Кернер Б.С., Осипов В.В. // УФН. 1989. Т. 157. В. 2. С. 201–266.
- [8] Горбатюк А.В., Панайотти И.Е. // ЖТФ. 1990. Т. 60. В. 5. С. 983–991.

Поступило в Редакцию
28 марта 1990 г.